

Caractérisation du rayonnement acoustique d'un haut-parleur monté sur une enceinte parallélépipédique.

Application à une barre de son

Thèse de doctorat présentée par **Vincent Roggerone**.

25 Janvier 2018

Jury : **Alain BERRY**
Didier CASSEREAU
Philippe HERZOG
Thomas HÉLIE
Marc BONNET
Étienne CORTEEL
Xavier BOUTILLON

rapporteur (GAUS)
rapporteur (CNRS)
examinateur (CNRS)
examinateur (CNRS)
examinateur (CNRS)
co-directeur (L-Acoustics)
directeur (CNRS)



université
PARIS-SACLAY



ÉCOLE DOCTORALE
Sciences mécaniques et
énergétiques, matériaux
et géosciences (SMEMAG)

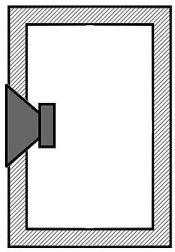
ANR-COORD 008 EDISON 3D

Projet ANR Edison 3D Coord 008

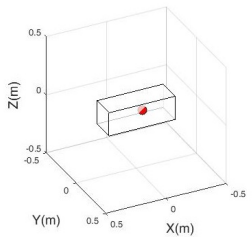
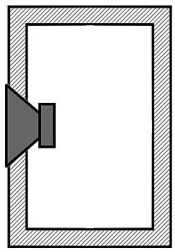


- But: démocratiser le son 3D.
- Système de restitution 3D chez le particulier: barre de son.
- Simuler, comprendre ...

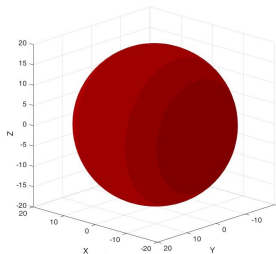
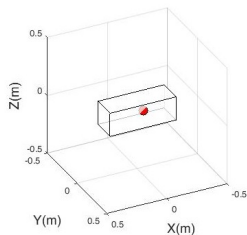
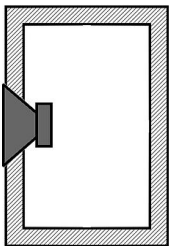
Problématique



Problématique

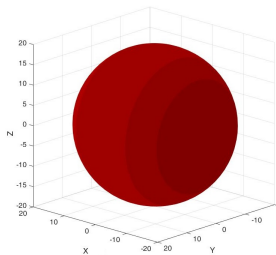
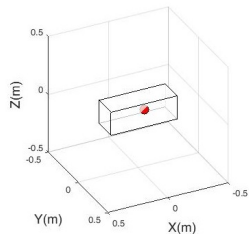
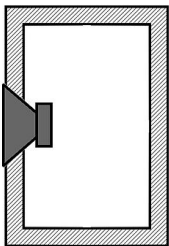


Problématique

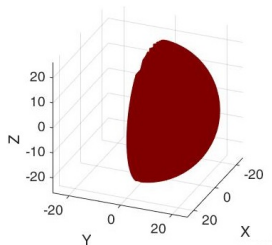


Basses fréquences

Problématique

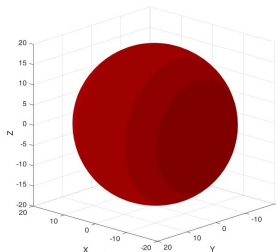


Basses fréquences

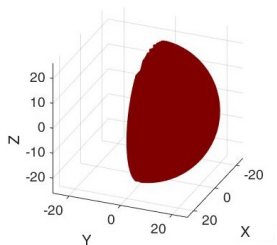


Hautes fréquences

Problématique

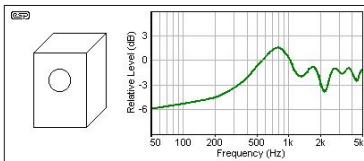
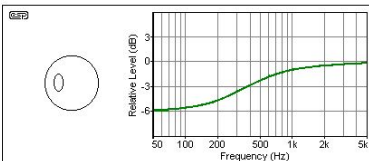


Basses fréquences



Hautes fréquences

Baffle Step Response [Olson, 1950] (courbes qualitatives)



Hypothèses

Haut-parleurs

- Linéaires
- Rigides
- Pas de couplage interne et entre haut-parleurs
- Pas de modélisation électro-dynamique

Enceinte

- Rigide

Intervalle fréquentiel

- 200 Hz - 3 kHz

Table des matières

- ① Méthodes de référence
 - Mesures
 - Éléments finis de frontière
 - Résultats

- ② Modèle de diffraction
 - Principe
 - Exemples et commentaires
 - Résultats
 - Discussion

- ③ Modèle sphéroïdal
 - Méthode
 - Résultats
 - Discussion

- ④ Conclusion générale
 - Résumé
 - Perspectives

Tables des matières

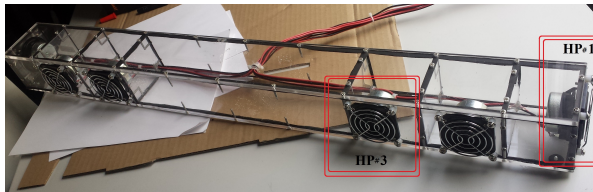
- ① Méthodes de référence
 - Mesures
 - Éléments finis de frontière
 - Résultats

- ② Modèle de diffraction

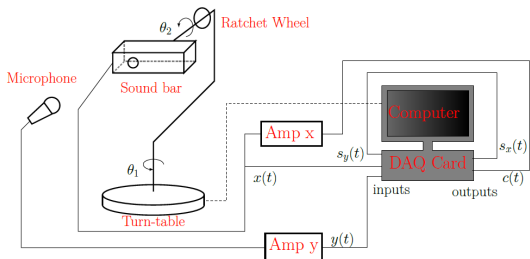
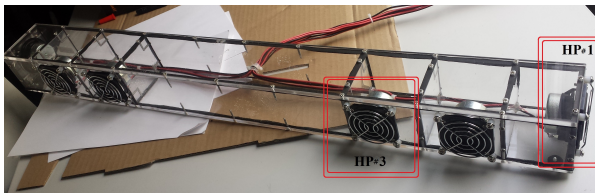
- ③ Modèle sphéroïdal

- ④ Conclusion générale

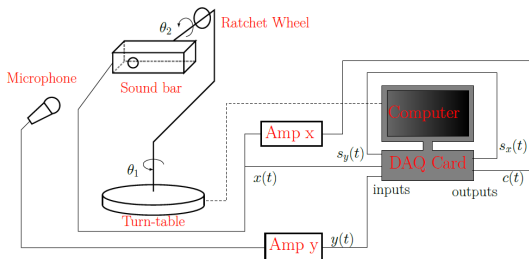
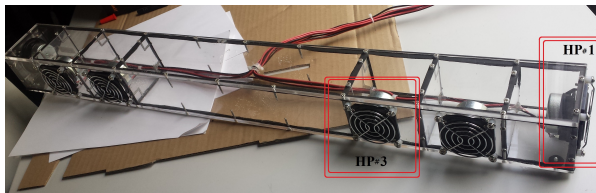
Mesures: montage



Mesures: montage

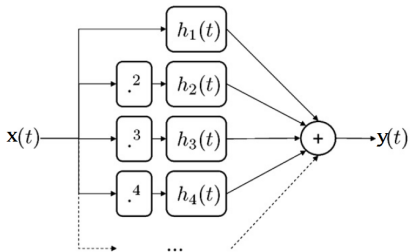


Mesures: montage



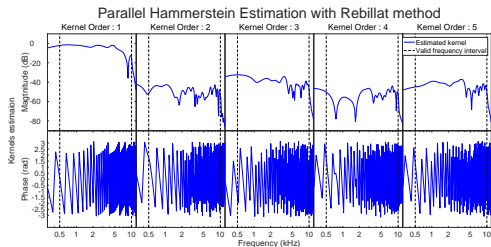
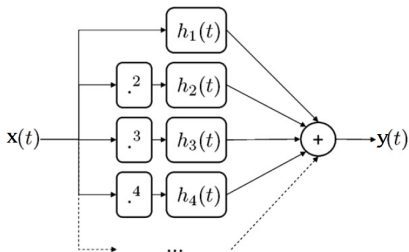
- Sélection de la partie linéaire

- Sélection de la partie linéaire



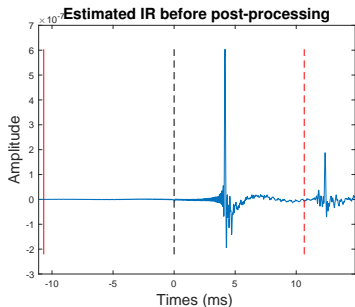
Mesures: traitement des données

- Sélection de la partie linéaire



Mesures: traitement des données

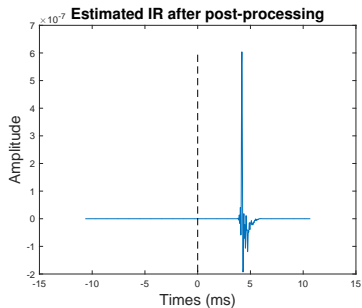
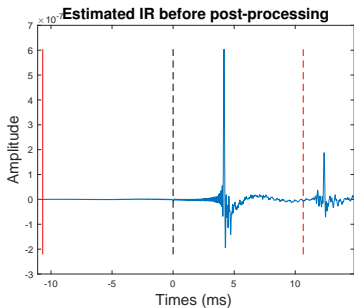
- Sélection de la partie linéaire
- Suppression de l'influence de la salle
- Suppression des effets de bords (temporels et fréquentiels)



Mesures: traitement des données

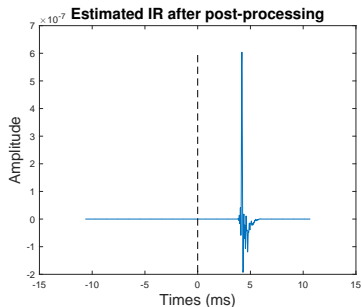
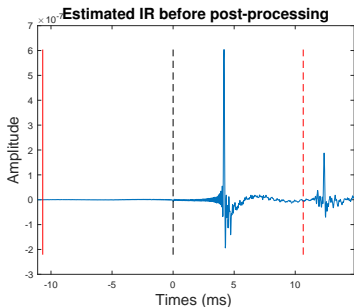


- Sélection de la partie linéaire
- Suppression de l'influence de la salle
- Suppression des effets de bords (temporels et fréquentiels)



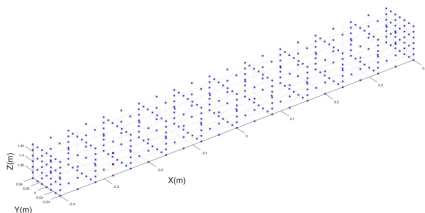
Mesures: traitement des données

- Sélection de la partie linéaire
- Suppression de l'influence de la salle
- Suppression des effets de bords (temporels et fréquentiels)

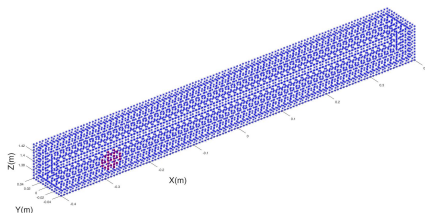


➤ Mesures valides au dessus de 500 Hz
(comportement omnidirectionnel en dessous)

Maillage



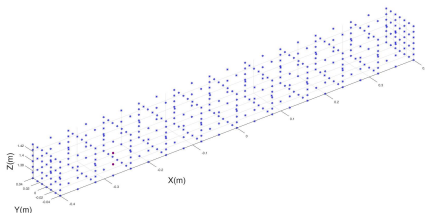
Basses fréquences



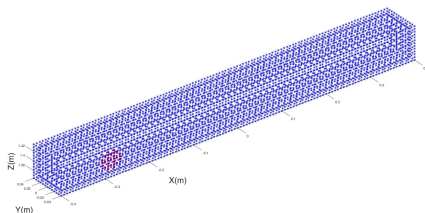
Hautes fréquences

Éléments finis de frontière

Maillage



Basses fréquences



Hautes fréquences

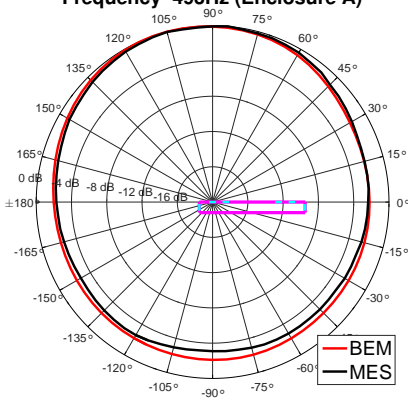
Implémentation

- Code par Marc Bonnet (*ENSTA ParisTech*), implémenté en Matlab
- 10 éléments par longueur d'onde

Résultats: directivité normalisée

HP#2

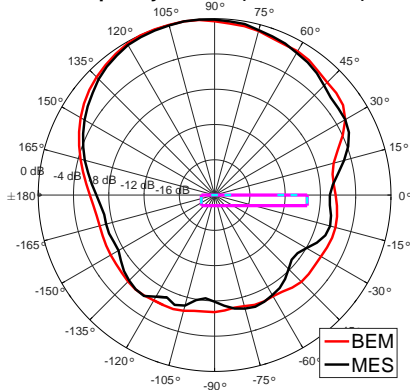
Frequency 493Hz (Enclosure A)



Résultats: directivité normalisée

HP#2

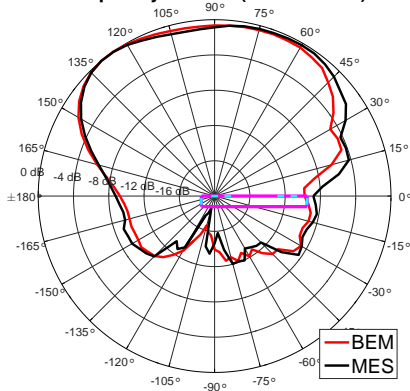
Frequency 1478Hz (Enclosure A)



Résultats: directivité normalisée

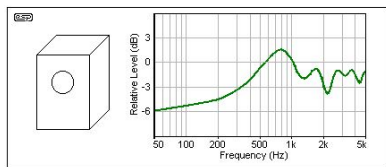
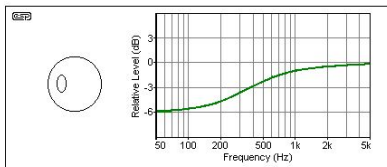
HP#2

Frequency 2979Hz (Enclosure A)

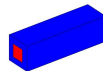
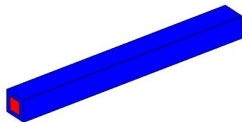
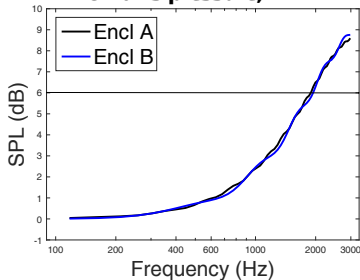


Discussion: réponse en fréquence dans l'axe

Baffle Step Response [Olson, 1950]

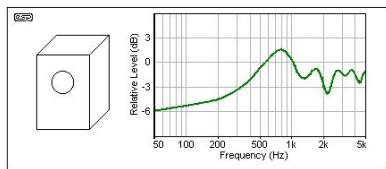
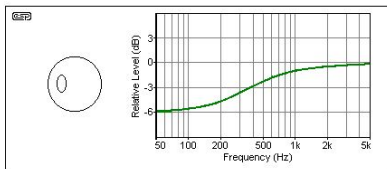


On-axis pressure, HP#1

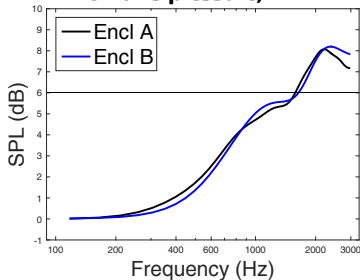
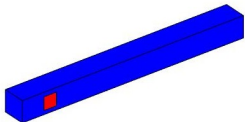


Discussion: réponse en fréquence dans l'axe

Baffle Step Response [Olson, 1950] (courbes qualitatives)



On-axis pressure, HP#2





Tables des matières

① Méthodes de référence

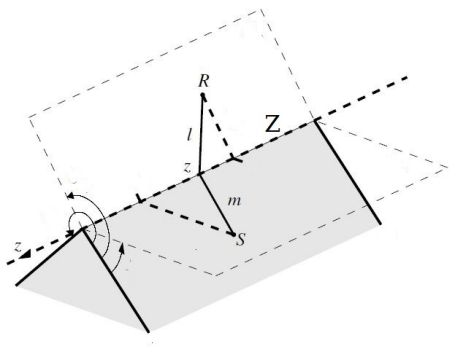
② Modèle de diffraction

- Principe
- Exemples et commentaires
- Résultats
- Discussion

③ Modèle sphéroïdal

④ Conclusion générale

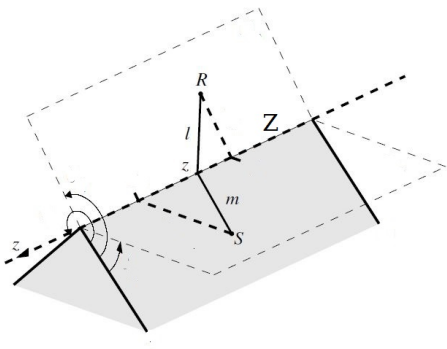
Diffraction par une arête



d'après Calamia & Svensson

$$\hat{p}_S = \hat{p}_{\text{direct}} + \hat{p}_{\text{reflec}} + \hat{p}_{\text{diffr}}$$

Diffraction par une arête



d'après Calamia & Svensson

$$\hat{p}_S = \hat{p}_{\text{direct}} + \hat{p}_{\text{reflec}} + \hat{p}_{\text{diffr}}$$

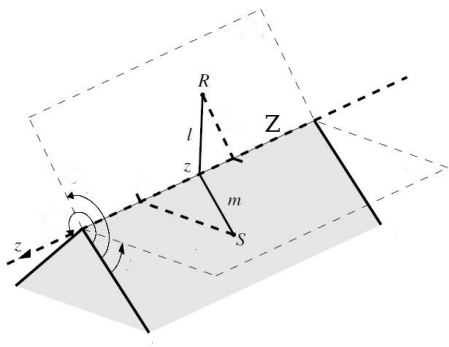
$$\hat{p}_{\text{direct}} = \frac{e^{-jkr}}{r}$$

Si la source est sur la surface :

$$\hat{p}_{\text{reflec}} = \hat{p}_{\text{direct}}$$

$$\hat{p}_S = 2\hat{p}_{\text{direct}} + \hat{p}_{\text{diffr}}$$

Diffraction par une arête



d'après Calamia & Svensson

$$\hat{p}_S = \hat{p}_{\text{direct}} + \hat{p}_{\text{reflec}} + \hat{p}_{\text{diffr}}$$

$$\hat{p}_{\text{direct}} = \frac{e^{-jkr}}{r}$$

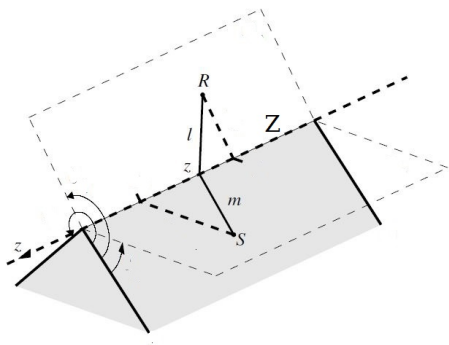
Si la source est sur la surface :

$$\hat{p}_{\text{reflec}} = \hat{p}_{\text{direct}}$$

$$\hat{p}_S = 2\hat{p}_{\text{direct}} + \hat{p}_{\text{diffr}}$$

$$\hat{p}_{\text{diffr}}^{(1)} \propto - \int_z \frac{e^{-jk[m(z)+l(z)]}}{m(z)l(z)} \beta(R, z, S) dz$$

Diffraction par une arête



$$\hat{p}_S = \hat{p}_{\text{direct}} + \hat{p}_{\text{reflec}} + \hat{p}_{\text{diffr}}$$

$$\hat{p}_{\text{direct}} = \frac{e^{-jkr}}{r}$$

Si la source est sur la surface :

$$\hat{p}_{\text{reflec}} = \hat{p}_{\text{direct}}$$

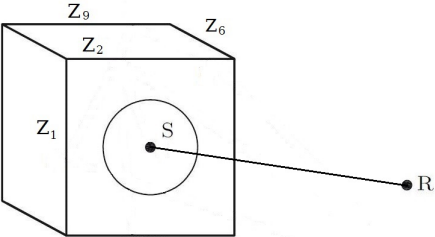
$$\hat{p}_S = 2\hat{p}_{\text{direct}} + \hat{p}_{\text{diffr}}$$

d'après Calamia & Svensson

$$\hat{p}_{\text{diffr}}^{(1)} \propto \underbrace{-}_{\text{soustraction}} \underbrace{\int_z}_{\text{somme}} \underbrace{\frac{e^{-jkm(z)}}{m(z)}}_{\text{prop } S \rightarrow z} \underbrace{\frac{e^{-jkl(z)}}{l(z)}}_{\text{prop } z \rightarrow R} \underbrace{\beta(R, z, S)}_{\text{directivité généralisée}} dz$$

Principe: analogue aux méthodes des rayons

D'après Asheim & Svensson [Asheim & Svensson, 2013]

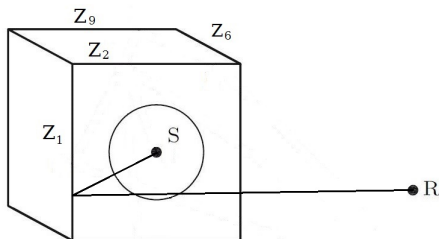


Sommes des contributions:

ordre 0: champ direct
 $R \leftarrow S$

Principe: analogue aux méthodes des rayons

D'après Asheim & Svensson [Asheim & Svensson, 2013]



Sommes des contributions:

ordre 0: champ direct

$R \leftarrow S$

ordre 1: champ provenant de la source et diffracté par les arêtes

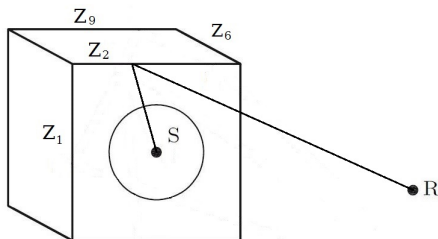
$R \leftarrow Z_1 \leftarrow S$

$R \leftarrow Z_2 \leftarrow S$

...

Principe: analogue aux méthodes des rayons

D'après Asheim & Svensson [Asheim & Svensson, 2013]



Sommes des contributions:

ordre 0: champ direct

$R \leftarrow S$

ordre 1: champ provenant de la source et diffracté par les arêtes

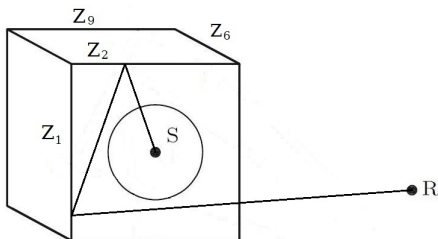
$R \leftarrow Z_1 \leftarrow S$

$R \leftarrow Z_2 \leftarrow S$

...

Principe: analogue aux méthodes des rayons

D'après Asheim & Svensson [Asheim & Svensson, 2013]



Sommes des contributions:

ordre 0: champ direct

$R \leftarrow S$

ordre 1: champ provenant de la source et diffracté par les arêtes

$R \leftarrow Z_1 \leftarrow S$

$R \leftarrow Z_2 \leftarrow S$

...

ordre n: champ provenant des arêtes diffracté par celles-ci

ordre 2 : $R \rightarrow Z_1 \rightarrow Z_2 \rightarrow S$

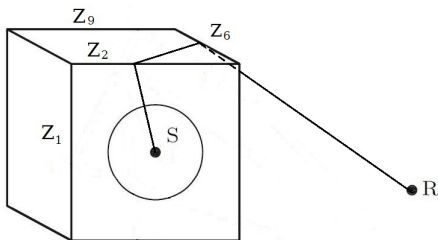
ordre 2 : $R \rightarrow Z_6 \rightarrow Z_2 \rightarrow S$

ordre 3 : $R \rightarrow Z_2 \rightarrow Z_9 \rightarrow Z_2 \rightarrow S$

...

Principe: analogue aux méthodes des rayons

D'après Asheim & Svensson [Asheim & Svensson, 2013]

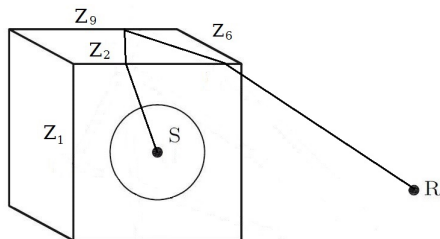


Sommes des contributions:

- ordre 0:** champ direct
 $R \leftarrow S$
- ordre 1:** champ provenant de la source et diffracté par les arêtes
 $R \leftarrow Z_1 \leftarrow S$
 $R \leftarrow Z_2 \leftarrow S$
- ...
- ordre n:** champ provenant des arêtes diffracté par celles-ci
- ordre 2 : $R \rightarrow Z_1 \rightarrow Z_2 \rightarrow S$
- ordre 2 : $R \rightarrow Z_6 \rightarrow Z_2 \rightarrow S$
- ordre 3 : $R \rightarrow Z_2 \rightarrow Z_9 \rightarrow Z_2 \rightarrow S$
- ...

Principe: analogue aux méthodes des rayons

D'après Asheim & Svensson [Asheim & Svensson, 2013]



Sommes des contributions:

ordre 0: champ direct

$R \leftarrow S$

ordre 1: champ provenant de la source et diffracté par les arêtes

$R \leftarrow Z_1 \leftarrow S$

$R \leftarrow Z_2 \leftarrow S$

...

ordre n: champ provenant des arêtes diffracté par celles-ci

ordre 2 : $R \rightarrow Z_1 \rightarrow Z_2 \rightarrow S$

ordre 2 : $R \rightarrow Z_6 \rightarrow Z_2 \rightarrow S$

ordre 3 : $R \rightarrow Z_2 \rightarrow Z_9 \rightarrow Z_2 \rightarrow S$

...

Formulation en opérateurs (ordre 2 et plus)

$$\hat{p}_{\text{diffr}}^{(2)} = \mathcal{I}_{\text{ext}} \{q^{(1,0)}\}$$

$$\hat{p}_{\text{diffr}}^{(3)} = \mathcal{I}_{\text{ext}} \{\mathcal{I}_+ \{q^{(1,0)}\}\}$$

$$\hat{p}_{\text{diffr}}^{(4)} = \mathcal{I}_{\text{ext}} \{\mathcal{I}_+ (\mathcal{I}_+ \{q^{(1,0)}\})\}$$

Formulation en opérateurs (ordre 2 et plus)

$$\hat{p}_{\text{diffr}}^{(2)} = \mathcal{I}_{\text{ext}} \{q^{(1,0)}\}$$

$$\hat{p}_{\text{diffr}}^{(3)} = \mathcal{I}_{\text{ext}} \{\mathcal{I}_+ \{q^{(1,0)}\}\}$$

$$\hat{p}_{\text{diffr}}^{(4)} = \mathcal{I}_{\text{ext}} \{\mathcal{I}_+ (\mathcal{I}_+ \{q^{(1,0)}\})\}$$

$$\hat{p}_{\text{diffr}}^{(n)} = \mathcal{I}_{\text{ext}} \{R, \underbrace{q^{(n-1, n-2)}}_{q^{(n-1, n-2)}}\}$$

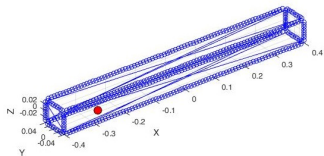
$$R \leftarrow Z \leftarrow \underbrace{Z \leftarrow Z \leftarrow \dots \leftarrow Z \leftarrow Z \leftarrow Z \leftarrow Z \leftarrow S}_{q^{(1,0)}}$$

$$q^{(2,1)} = \mathcal{I}_+ \{Z, q^{(1,0)}\}$$

- \leftarrow : pressure radiated from source to edge
- \leftarrow : pressure radiated from edge to edge
- \leftarrow : pressure radiated from edge to exterior domain

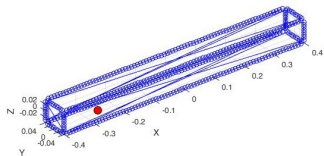
➤ Toujours un problème 2D

Contributions



implémentation dans matlab

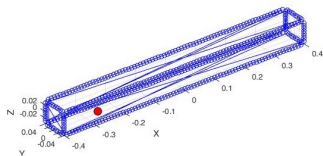
Contributions



- Théorie : interprétation de la formule de Svensson à l'aide de la méthode de Pierce.

implémentation dans matlab

Contributions



implémentation dans matlab

- Théorie : interprétation de la formule de Svensson à l'aide de la méthode de Pierce.
- Implémentation : duplication des résultats.

Notre implémentation:

$$\hat{p}_{\text{diffr}}^{(2)} = \mathcal{I}_{\text{ext}} \{q^{(1,0)}\}$$

$$\hat{p}_{\text{diffr}}^{(3)} = \mathcal{I}_{\text{ext}} \{\mathcal{I}_+ \{q^{(1,0)}\}\}$$

$$\hat{p}_{\text{diffr}}^{(4)} = \mathcal{I}_{\text{ext}} \{\mathcal{I}_+ (\mathcal{I}_+ \{q^{(1,0)}\})\}$$

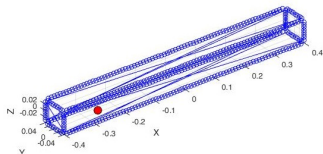
Implémentation de Svensson:

$$\hat{p}_{\text{diffr}}^{(2)} = \mathcal{I}_{\text{PROP}} \{q^{(1,0)}\}$$

$$\hat{p}_{\text{diffr}}^{(3)} = \mathcal{I}_{\text{PROP}} \{\mathcal{I} \{q^{(1,0)}\}\}$$

$$\hat{p}_{\text{diffr}}^{(4)} = \mathcal{I}_{\text{PROP}} \{\mathcal{I}(\mathcal{I} \{q^{(1,0)}\})\}$$

Contributions

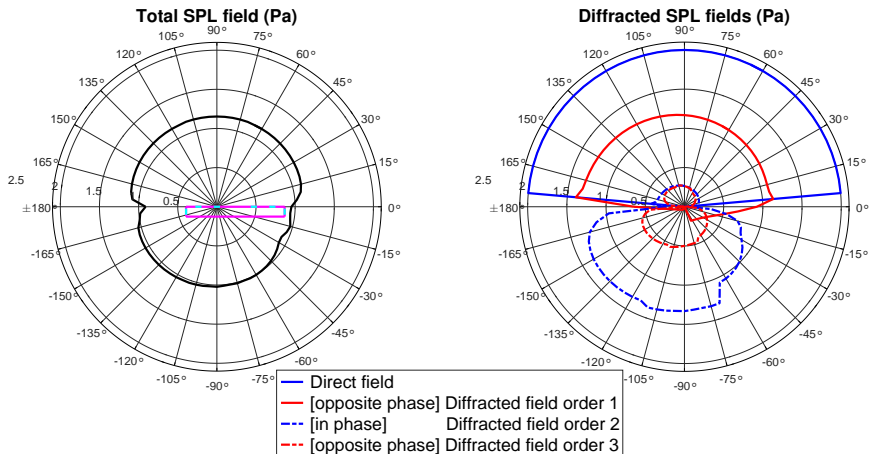


implémentation dans matlab

- Théorie : interprétation de la formule de Svensson à l'aide de la méthode de Pierce.
- Implémentation : duplication des résultats.
- Application : application aux enceintes rectangulaires.

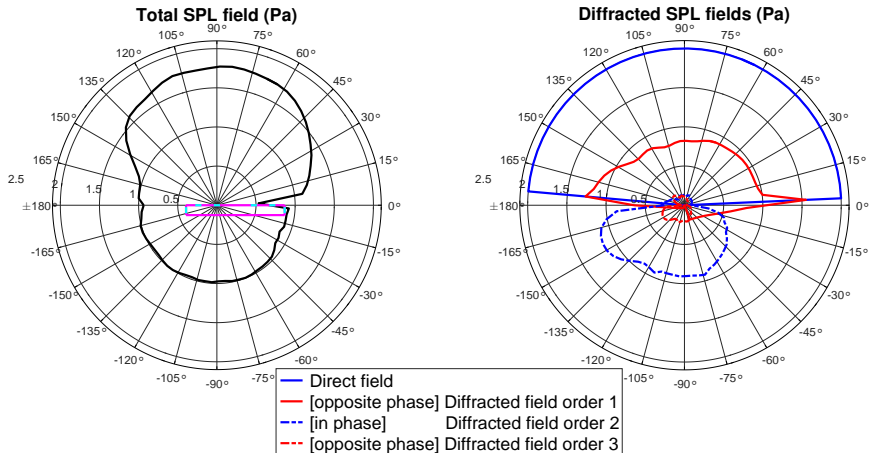
Exemple: décomposition d'un champ omnidirectionnel

HP #3, frequency close to 0 Hz



Exemple: décomposition d'un champ directionnel

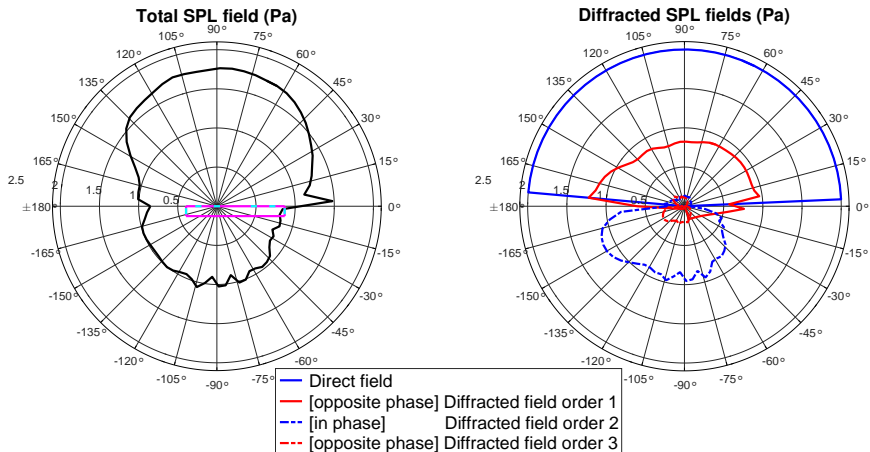
HP #3, frequency of 1100 Hz



60 éléments par longueur d'onde

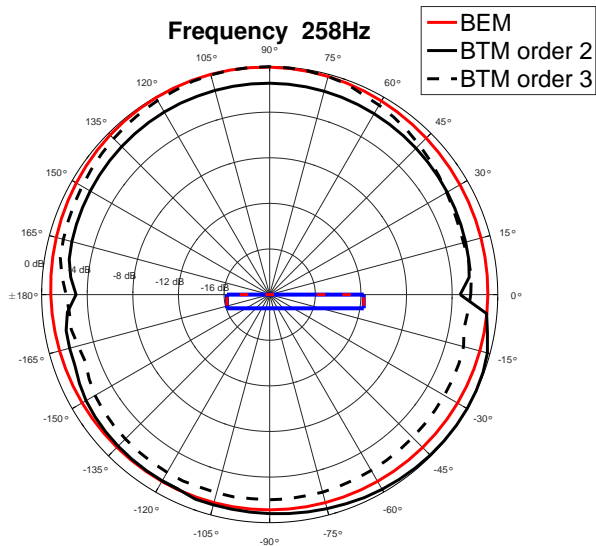
Exemple: décomposition d'un champ directionnel

HP #3, frequency of 1100 Hz

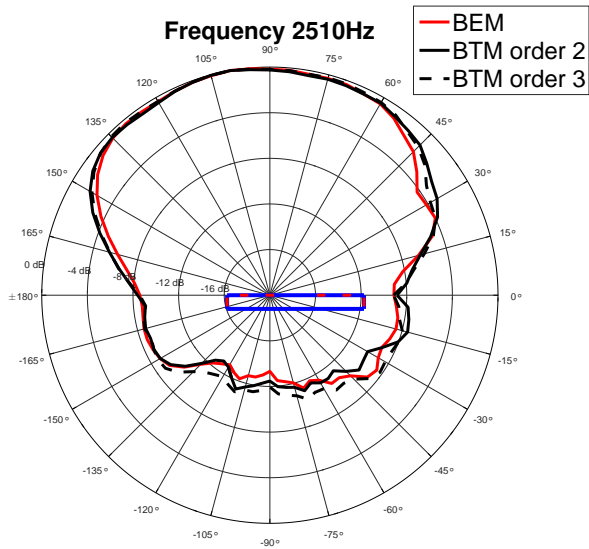


30 éléments par longueur d'onde

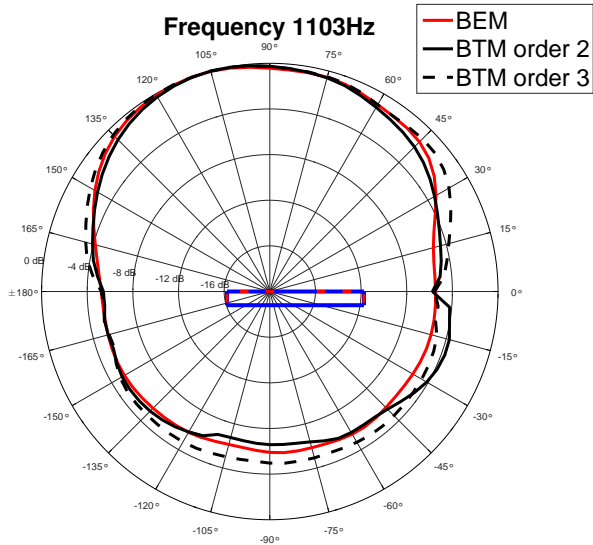
Résultats: directivité normalisée



Résultats: directivité normalisée



Résultats: directivité normalisée



Temps de calcul

N_R	Opérateurs	ESIE (1 kHz) 80 x 8 x 7	BEM (1 kHz) 26 x 5 x 5
$\forall N_R$	\mathcal{I}	3 s	
1	Order 0 + 1	< 1 s	5 s
	$\mathcal{I}_{\text{prop}}$	< 1 s	
72	Order 0 + 1	< 1 s	5 s
	$\mathcal{I}_{\text{prop}}$	1 s	
2664	Order 0 + 1	1 s	10 s
	$\mathcal{I}_{\text{prop}}$	20 s	

Implémentation de Svensson

$$\hat{p}_{\text{diffr}}^{(2)} = \mathcal{I}_{\text{prop}}\{q^{(1,0)}\}$$

$$\hat{p}_{\text{diffr}}^{(3)} = \mathcal{I}_{\text{prop}}\{\mathcal{I}\{q^{(1,0)}\}\}$$

$$\hat{p}_{\text{diffr}}^{(4)} = \mathcal{I}_{\text{prop}}\{\mathcal{I}(\mathcal{I}\{q^{(1,0)}\})\}$$

Temps de calcul

N_R	Opérateurs	ESIE (3 kHz) 160 x 16 x 15	BEM (3 kHz) 140x14x13
$\forall N_R$	\mathcal{I}	30 s	
1	Order 0 + 1	< 1 s	60 s
	$\mathcal{I}_{\text{prop}}$	1 s	
72	Order 0 + 1	1 s	60 s
	$\mathcal{I}_{\text{prop}}$	2 s	
2664	Order 0 + 1	2 s	80 s
	$\mathcal{I}_{\text{prop}}$	60 s	

Implémentation de Svensson

$$\hat{p}_{\text{diffr}}^{(2)} = \mathcal{I}_{\text{prop}}\{q^{(1,0)}\}$$

$$\hat{p}_{\text{diffr}}^{(3)} = \mathcal{I}_{\text{prop}}\{\mathcal{I}\{q^{(1,0)}\}\}$$

$$\hat{p}_{\text{diffr}}^{(4)} = \mathcal{I}_{\text{prop}}\{\mathcal{I}(\mathcal{I}\{q^{(1,0)}\})\}$$

Résultats: position du lobe principal

script1.m
script4.m
script5.m



script6.m
script7.m
script8.m



Discussion sur le modèle de diffraction

RÉSUMÉ

Modèle de diffraction

- Méthode valide pour calculer le son rayonné par une enceinte
- Particulièrement attractive en dessous de l'ordre 2

Implémentation

- Reproductibilité de la méthode de Svensson
- Comparaison avec le BEM

PERSPECTIVES

Travaux futur possibles

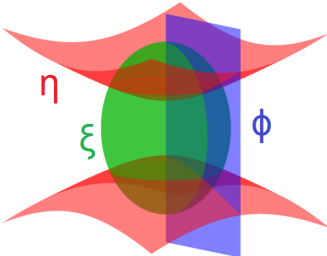
- Prédire le nombre d'éléments nécessaires par longueur d'onde pour obtenir une précision suffisante.
- Prédire l'ordre minimum nécessaire pour obtenir une précision suffisante.

Tables des matières

- 1 Méthodes de référence
- 2 Modèle de diffraction
- 3 **Modèle sphéroïdal**
 - Méthode
 - Résultats
 - Discussion
- 4 Conclusion générale

Modèle sphéroïdal: présentation

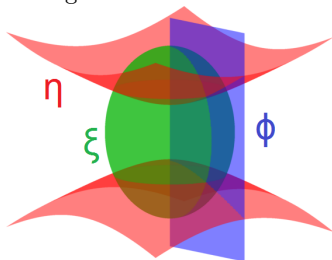
Coordonnées sphéroïdales
oblongues



surfaces iso-coordonnées
d'après Adelman

Modèle sphéroïdal: présentation

Coordonnées sphéroïdales
oblongues



surfaces iso-coordonnées
d'après Adelman

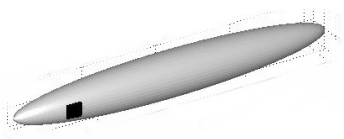
Équation de Helmholtz
+ excitation par un piston “carré”

$$p(\xi, \eta, \phi) \propto \sum_{m=0}^{\infty} \sum_{l=m}^{\infty} I_{ml}(\xi, \eta, \phi) R_{ml}(\xi) S_{ml}(\eta) e^{im\phi}$$

- R_{ml} et S_{ml} : fonctions d'onde sphéroïdales.
- m et l : ordre
- I : excitation par piston “carré”

Modèle sphéroïdal: présentation

enceinte sphéroïdale $\xi = \text{Cte}$



piston “carré”

[Boisvert & Van Buren, 2002]

Équation de Helmholtz
+ excitation par un piston “carré”

$$p(\xi, \eta, \phi) \propto \sum_{m=0}^{\infty} \sum_{l=m}^{\infty} I_{ml}(\xi, \eta, \phi) R_{ml}(\xi) S_{ml}(\eta) e^{im\phi}$$

- R_{ml} et S_{ml} : fonctions d’onde sphéroïdales.
- m et l : ordre
- I : excitation par piston “carré”

Modèle sphéroïdal: Expressions des fonctions d'onde sphéroïdales

[Flammer, 1957]

Exemple avec R_{ml} : [Van Buren & Boisvert, 2007]

$$R_{ml}^{(2)}(c, \xi) = \frac{(-1)^{(l-m)/2}(2m+1)}{2^{m+1}m! d_0(c|ml)} \times \int_{-1}^{+1} \left[\frac{(\xi^2 - 1)(1 - \eta^2)}{(\xi^2 + \eta^2 - 1)} \right]^{m/2} y_m c(\xi^2 + \eta^2 - 1)^{1/2} S_{ml}^{(1)}(c, \eta) d\eta, \quad l - m \text{ even}$$

$$R_{ml}^{(2)}(c, \xi) = \frac{(-1)^{(l-m-1)/2}(2m+3)}{2^{m+1}m! d_1(c|ml)} \times \int_{-1}^{+1} \frac{[(\xi^2 - 1)(1 - \eta^2)]^{m/2}}{(\xi^2 + \eta^2 - 1)^{(m+1)/2}} \xi \eta y_{m+1} c(\xi^2 + \eta^2 - 1)^{1/2} S_{ml}^{(1)}(c, \eta) d\eta, \quad l - m \text{ odd.}$$

Modèle sphéroïdal: Expressions des fonctions d'onde sphéroïdales

[Flammer, 1957]

Exemple avec R_{ml} : [Van Buren & Boisvert, 2007]

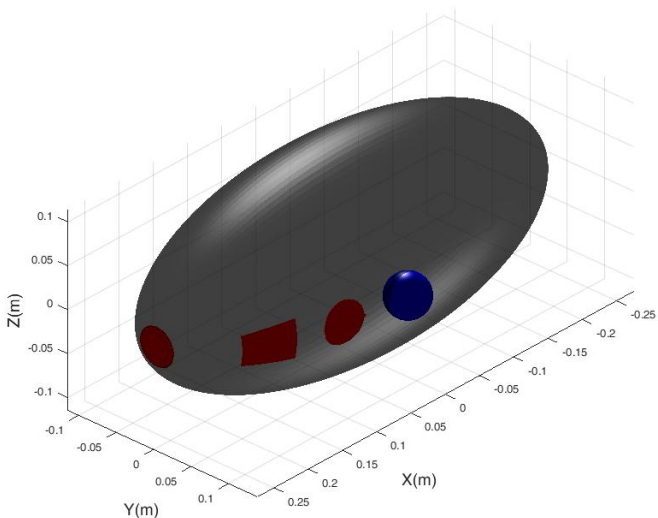
$$R_{ml}^{(2)}(c, \xi) = \frac{(-1)^{(l-m)/2}(2m+1)}{2^{m+1}m! d_0(c|ml)} \times \int_{-1}^{+1} \left[\frac{(\xi^2 - 1)(1 - \eta^2)}{(\xi^2 + \eta^2 - 1)} \right]^{m/2} y_m c(\xi^2 + \eta^2 - 1)^{1/2} \underline{S_{ml}^{(1)}(c, \eta)} d\eta, \quad l - m \text{ even}$$

$$R_{ml}^{(2)}(c, \xi) = \frac{(-1)^{(l-m-1)/2}(2m+3)}{2^{m+1}m! d_1(c|ml)} \times \int_{-1}^{+1} \frac{[(\xi^2 - 1)(1 - \eta^2)]^{m/2}}{(\xi^2 + \eta^2 - 1)^{(m+1)/2}} \xi \eta y_{m+1} c(\xi^2 + \eta^2 - 1)^{1/2} \underline{S_{ml}^{(1)}(c, \eta)} d\eta, \quad l - m \text{ odd.}$$

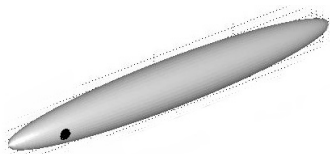
➤ Très complexes, propriétés inexploitable

Modèle sphéroïdal: méthode pour obtenir un piston circulaire

Intersection entre sphéroïde et boule



Modèle sphéroïdal: Troncature

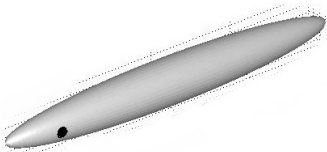
piston **circulaire**

Équation de Helmholtz
+ excitation par un piston **circulaire**

$$p(\xi, \eta, \phi) \propto \sum_{m=0}^{\infty} \sum_{l=m}^{\infty} J_{ml}(\xi, \eta, \phi) R_{ml}(\xi) S_{ml}(\eta) e^{im\phi}$$

- R_{ml} et S_{ml} : fonctions d'onde sphéroïdales.
- m et l : ordre
- J_{ml} : excitation par piston **circulaire**

Modèle sphéroïdal: Troncature



piston **circulaire**

Troncature

- Ordre de troncature M, L
?

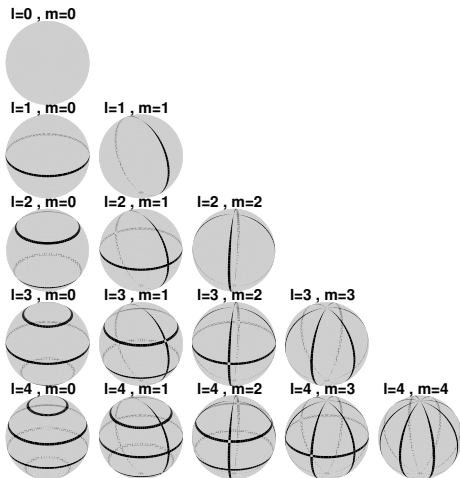
Équation de Helmholtz
+ excitation par un piston **circulaire**

$$p(\xi, \eta, \phi) \propto \sum_{m=0}^M \sum_{l=m}^L J_{ml}(\xi, \eta, \phi) R_{ml}(\xi) S_{ml}(\eta) e^{im\phi}$$

- R_{ml} et S_{ml} : fonctions d'onde sphéroïdales.
- m et l : ordre
- J_{ml} : excitation par piston **circulaire**

Modèle sphérique: critère de troncature classique

Nodal Lines of Spherical Harmonics



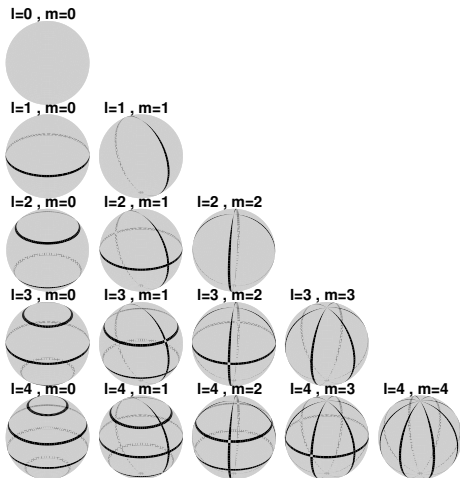
Modèle sphérique: critère de troncature classique

Expressions :

$$p \propto \sum_{l=0}^L \sum_{m=-l}^l I_{ml}$$

$$h_l(r) P_{ml}(\cos \theta) e^{im\phi}$$

Nodal Lines of **Spherical** Harmonics

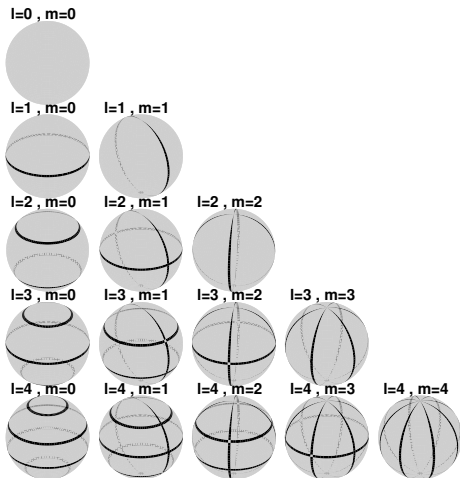


Modèle sphérique: critère de troncature classique

Expression:

$$p \propto \sum_{l=0}^L \sum_{m=-l}^l I_{ml} h_l(r) Y_{ml}(\theta, \phi)$$

Nodal Lines of Spherical Harmonics

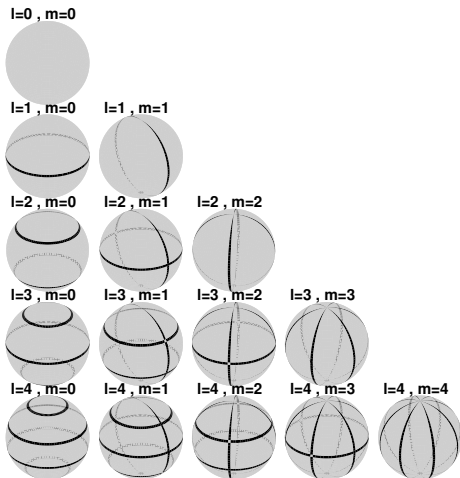


Modèle sphérique: critère de troncature classique

Expression:

$$p \propto \sum_{l=0}^L \sum_{m=-l}^l I_{ml} h_l(r) Y_{ml}(\theta, \phi)$$

Nodal Lines of **Spherical** Harmonics



L : nombre de lignes nodales

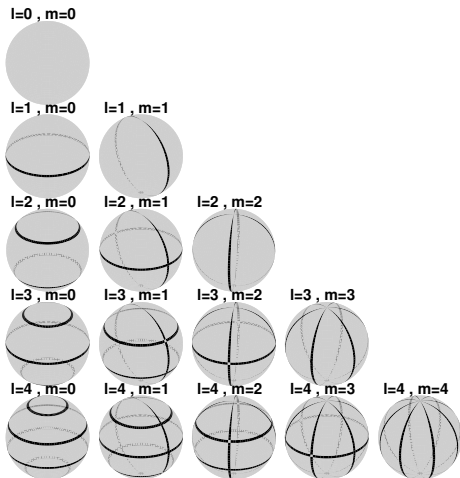
Comparaison : distance
moyenne lignes nodales &
longueur d'onde

Modèle sphérique: critère de troncature classique

Expression:

$$p \propto \sum_{l=0}^L \sum_{m=-l}^l I_{ml} h_l(r) Y_{ml}(\theta, \phi)$$

Nodal Lines of **Spherical** Harmonics



L : nombre de lignes nodales

Comparaison : distance
moyenne lignes nodales &
longueur d'onde

➤ Court-circuits acoustiques
pour $L > kr$

Modèle sphéroïdal: critère de troncature

Expressions :

$$p \propto \sum_{m=0}^M \sum_{l=m}^L J_{ml}$$

$$R_{ml}(k, \xi) S_{ml}(\eta, k) e^{im\phi}$$

Nodal Lines of Spheroidal Harmonics
at **low frequency** and Plotted for $\xi = 1.35$

$l=0, m=0$



$l=1, m=0$



$l=1, m=1$



$l=2, m=0$



$l=2, m=1$



$l=2, m=2$



$l=3, m=0$



$l=3, m=1$



$l=3, m=2$



$l=3, m=3$



$l=4, m=0$



$l=4, m=1$



$l=4, m=2$



$l=4, m=3$



$l=4, m=4$



Modèle sphéroïdal: critère de troncature

Expression:

$$p \propto \sum_{m=0}^M \sum_{l=m}^L J_{ml}$$

$$R_{ml}(k, \xi) X_{ml}(k, \theta, \phi)$$

Nodal Lines of Spheroidal Harmonics
at **high frequency** and Plotted for $\xi = 1.35$

$l=0, m=0$



$l=1, m=0$



$l=1, m=1$



$l=2, m=0$



$l=2, m=1$



$l=2, m=2$



$l=3, m=0$



$l=3, m=1$



$l=3, m=2$



$l=3, m=3$



$l=4, m=0$



$l=4, m=1$



$l=4, m=2$



$l=4, m=3$



$l=4, m=4$



Modèle sphéroïdal: critère de troncature

Expression:

$$p \propto \sum_{m=0}^M \sum_{l=m}^L J_{ml}$$

$$R_{ml}(k, \xi) X_{ml}(k, \theta, \phi)$$

Nodal Lines of Spheroidal Harmonics
at **high frequency** and Plotted for $\xi = 1.35$

$l=0, m=0$



$l=1, m=0$



$l=1, m=1$



$l=2, m=0$



$l=2, m=1$



$l=2, m=2$



$l=3, m=0$



$l=3, m=1$



$l=3, m=2$



$l=3, m=3$



$l=4, m=0$



$l=4, m=1$



$l=4, m=2$



$l=4, m=3$



$l=4, m=4$



Modèle sphéroïdal: critère de troncature

Expression:

$$p \propto \sum_{m=0}^M \sum_{l=m}^L J_{ml}$$

$$R_{ml}(k, \xi) X_{ml}(k, \theta, \phi)$$

Nodal Lines of Spheroidal Harmonics
at **high frequency** and Plotted for $\xi = 1.35$

$l=0, m=0$



$l=1, m=0$



$l=1, m=1$



$l=2, m=0$



$l=2, m=1$



$l=2, m=2$



$l=3, m=0$



$l=3, m=1$



$l=3, m=2$



$l=3, m=3$



$l=4, m=0$



$l=4, m=1$



$l=4, m=2$



$l=4, m=3$



$l=4, m=4$



L : nb de lignes nodales

$L-M$: nb lignes horizontales

M : nb de lignes verticales

Comparaison : distance
moyenne lignes nodales &
longueur d'onde

Modèle sphéroïdal: critère de troncature

Nodal Lines of Spheroidal Harmonics
at **high frequency** and Plotted for $\xi = 1.35$

$l=0, m=0$



$l=1, m=0$



$l=1, m=1$



$l=2, m=0$



$l=2, m=1$



$l=2, m=2$



$l=3, m=0$



$l=3, m=1$



$l=3, m=2$



$l=3, m=3$



$l=4, m=0$



$l=4, m=1$



$l=4, m=2$



$l=4, m=3$



$l=4, m=4$



L : nb de lignes nodales
 $L-M$: nb lignes horizontales
 M : nb de lignes verticales

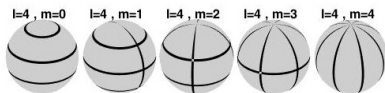
Comparaison : distance
 moyenne lignes nodales &
 longueur d'onde

➤ Court-circuits acoustiques
 pour

$$\begin{cases} M > kb \\ M - L > k \frac{a+b}{2} \end{cases}$$

Critère de troncature: comparaison critère sphérique & sphéroïdal

SPHÉRIQUE



Harmoniques :

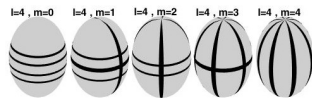
$$Y_{ml}(\theta, \phi) = P_{ml}(\cos \theta) e^{im\phi}$$

Critère :

$$L > kr + \epsilon$$

où r est le rayon de la sphère

SPHÉROÏDAL



Harmoniques :

$$X_{ml}(k, \eta, \phi) = S_{ml}(\eta, k) e^{im\phi}$$

Critère :

$$\begin{cases} M > kb + \epsilon_b \\ M - L > k \frac{a+b}{2} + \epsilon_a \end{cases}$$

où a et b sont le grand et petit demi-axe

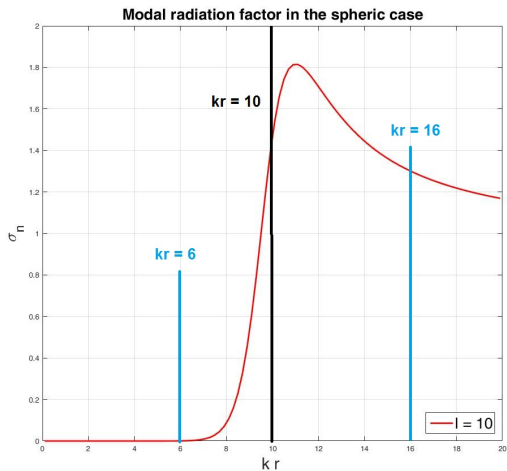
Critère de troncature: vérification par facteur de rayonnement

Critère SPHÉRIQUE :

$$kr < L$$

Critère SPHÉROÏDAL :

$$\begin{cases} kb < M \\ kb < 2(M - L) - ka \end{cases}$$



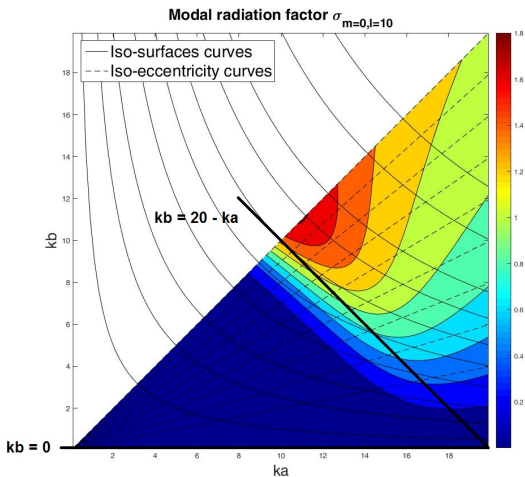
Critère de troncature: vérification par facteur de rayonnement

Critère SPHÉRIQUE :

$$kr < L$$

Critère SPHÉROÏDAL :

$$\begin{cases} kb < M \\ kb < 2(M - L) - ka \end{cases}$$



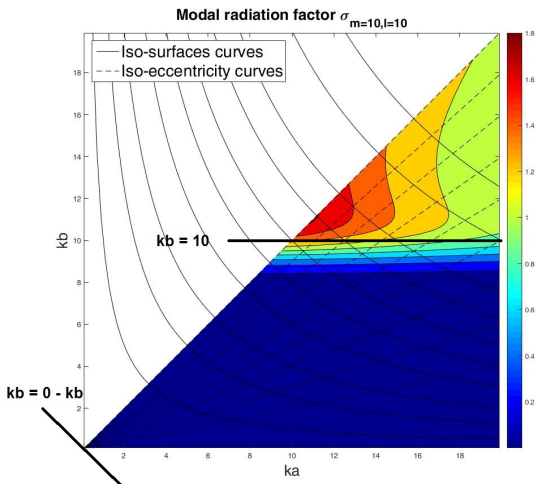
Critère de troncature: vérification par facteur de rayonnement

Critère SPHÉRIQUE :

$$kr < L$$

Critère SPHÉROÏDAL :

$$\begin{cases} kb < M \\ kb < 2(M - L) - ka \end{cases}$$



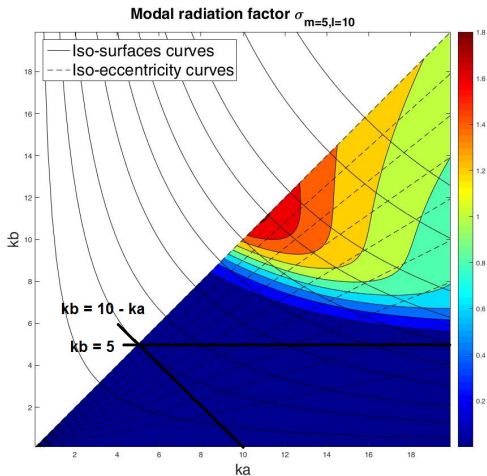
Critère de troncature: vérification par facteur de rayonnement

Critère SPHÉRIQUE :

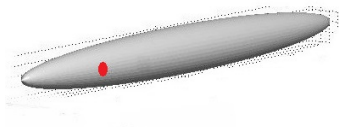
$$kr < L$$

Critère SPHÉROÏDAL :

$$\begin{cases} kb < M \\ kb < 2(M - L) - ka \end{cases}$$



Modèle sphéroïdal: optimisation du sphéroïde



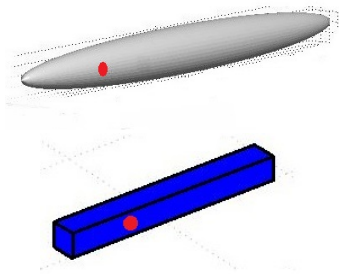
Équation de Helmholtz
+ excitation par un piston **circulaire**

Solution :
[Boisvert & Van Buren, 2002]

$$p(\xi, \eta, \phi) \propto \sum_{m=0}^M \sum_{l=m}^L J_{ml}(\xi, \eta, \phi) R_{ml}(\xi) S_{ml}(\eta)$$

- R et S : fonctions d'onde sphéroïdales
- m et l : ordre
- J : excitation par piston **circulaire**

Modèle sphéroïdal: optimisation du sphéroïde



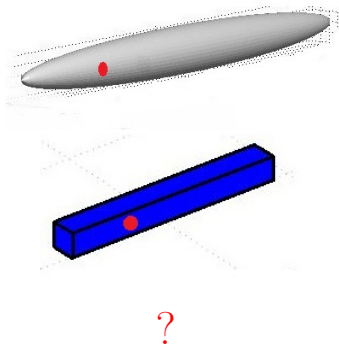
Équation de Helmholtz
+ excitation par un piston **circulaire**

Solution :
[Boisvert & Van Buren, 2002]

$$p(\xi, \eta, \phi) \propto \sum_{m=0}^M \sum_{l=m}^L J_{ml}(\xi, \eta, \phi) R_{ml}(\xi) S_{ml}(\eta)$$

- R et S : fonctions d'onde sphéroïdales
- m et l : ordre
- J : excitation par piston **circulaire**

Modèle sphéroïdal: optimisation du sphéroïde



Équation de Helmholtz
+ excitation par un piston **circulaire**

Solution :
[Boisvert & Van Buren, 2002]

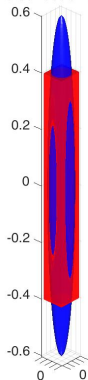
$$p(\xi, \eta, \phi) \propto \sum_{m=0}^M \sum_{l=m}^L J_{ml}(\xi, \eta, \phi) R_{ml}(\xi) S_{ml}(\eta)$$

- R et S : fonctions d'onde sphéroïdales
- m et l : ordre
- J : excitation par piston **circulaire**

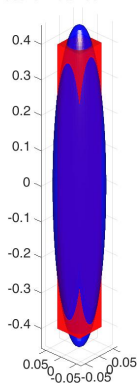
Modèle sphéroïdal: optimisation du sphéroïde

Différentes formes testées

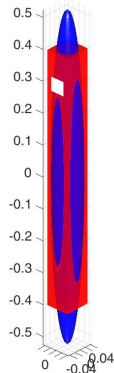
Same Surface and Volume



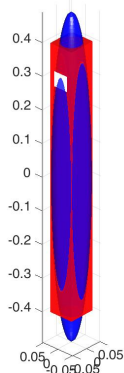
Enclosure Distance Minimisation



Same Volume and Loudspeaker Distance Minimisation



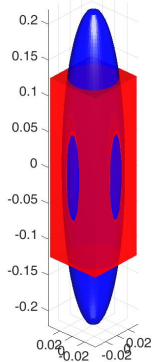
Same Surface and Loudspeaker Distance Minimisation



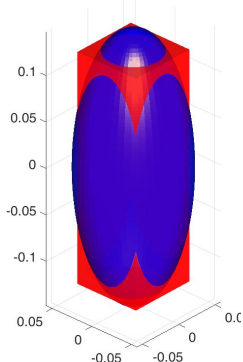
Modèle sphéroïdal: optimisation du sphéroïde

Différentes formes testées

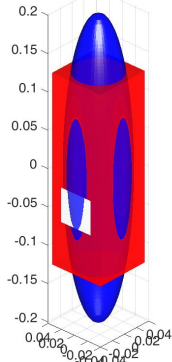
M1 Same Surface and Volume



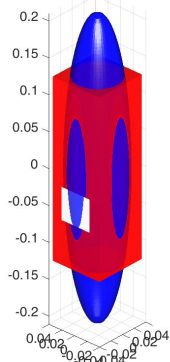
M4 Enclosure Distance Minimisation



M2 Same Volume and Loudspeaker Distance Minimisation



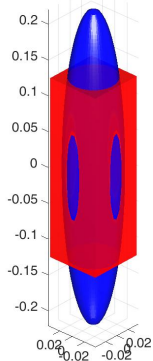
M3 Same Surface and Loudspeaker Distance Minimisation



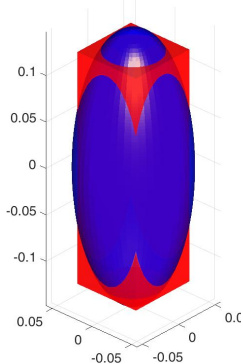
Modèle sphéroïdal: optimisation du sphéroïde

Différentes formes testées

M1 Same Surface and Volume

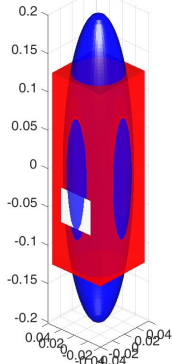


M4 Enclosure Distance Minimisation



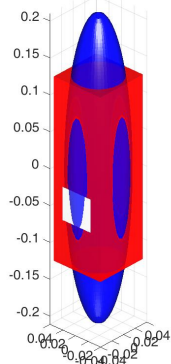
M2 Same Volume and

Loudspeaker Distance Minimisation



M3 Same Surface and

Loudspeaker Distance Minimisation

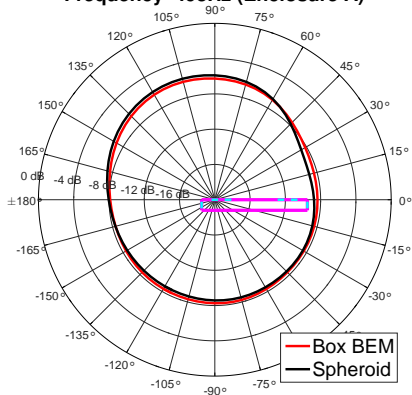


➤ Résultats similaires

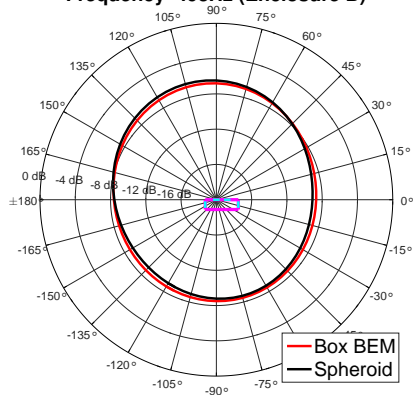
Résultats: directivité

HP#2

Frequency 493Hz (Enclosure A)



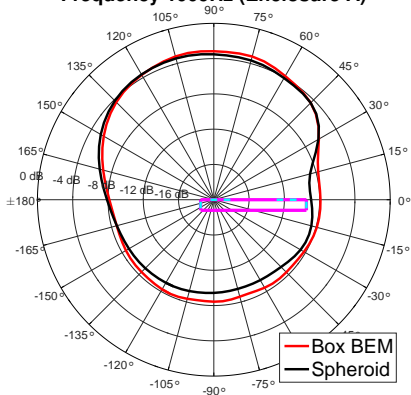
Frequency 493Hz (Enclosure B)



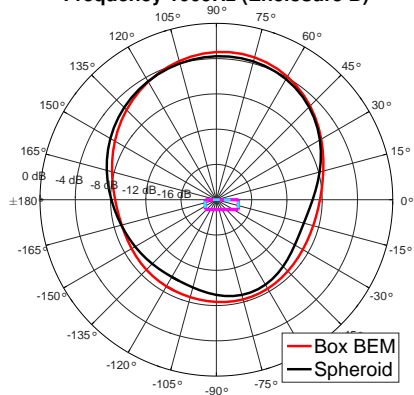
Résultats: directivité

HP#2

Frequency 1009Hz (Enclosure A)



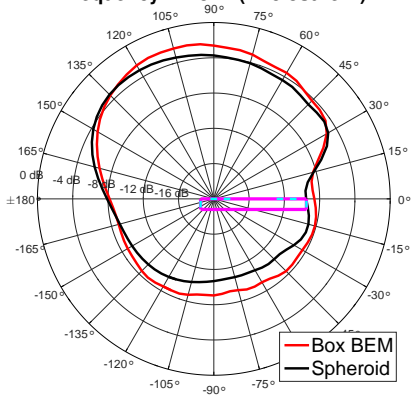
Frequency 1009Hz (Enclosure B)



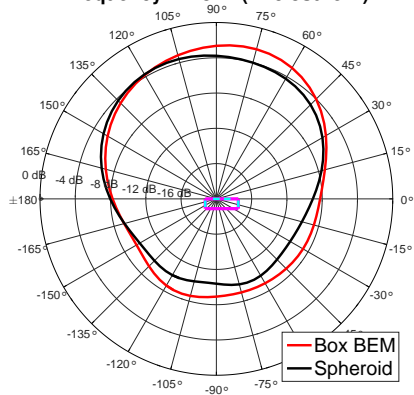
Résultats: directivité

HP#2

Frequency 1478Hz (Enclosure A)



Frequency 1478Hz (Enclosure B)

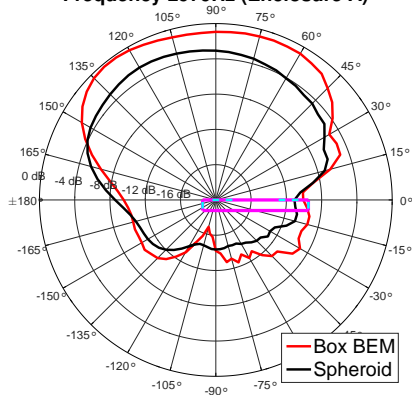


X

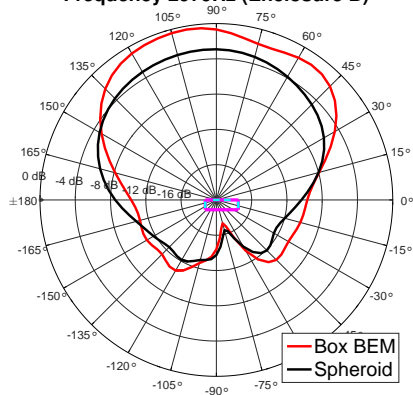
Résultats: directivité

HP#2

Frequency 2979Hz (Enclosure A)



Frequency 2979Hz (Enclosure B)

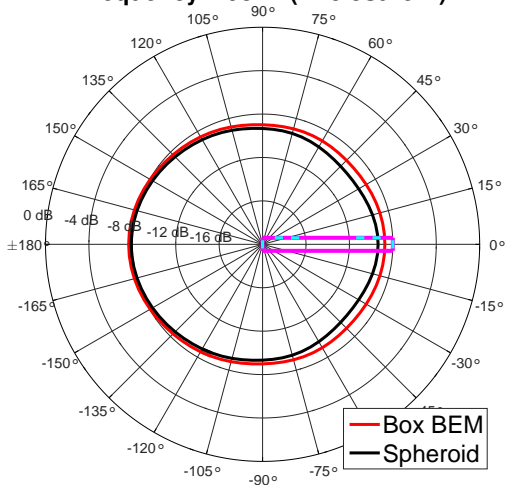


X3 dB manquant sur le lobe principal

Résultats: directivité

HP#1

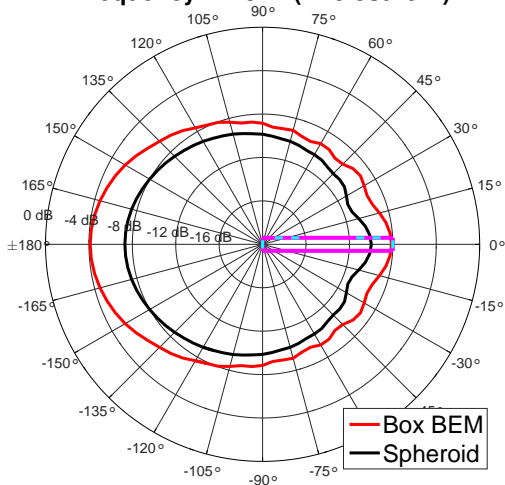
Frequency 493Hz (Enclosure A)



Résultats: directivité

HP#1

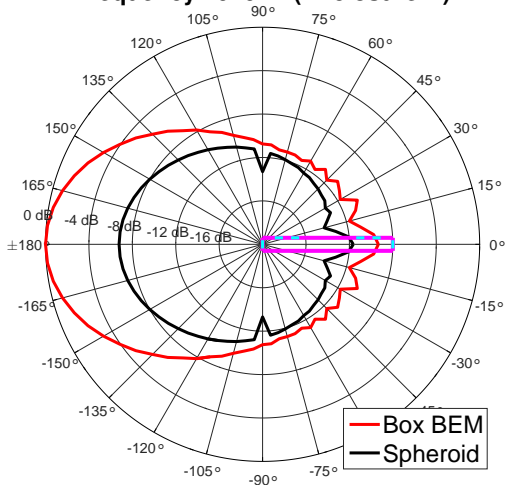
Frequency 1478Hz (Enclosure A)



Résultats: directivité

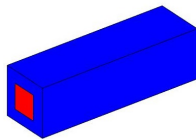
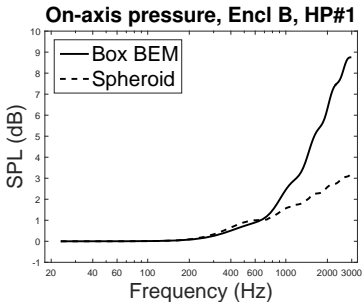
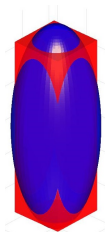
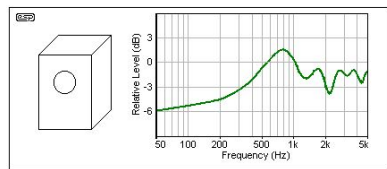
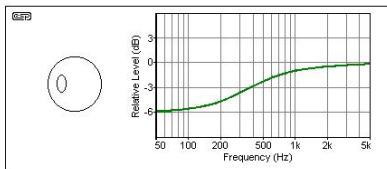
HP#1

Frequency 2979Hz (Enclosure A)

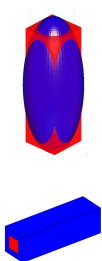


Discussion: réponse en fréquence dans l'axe

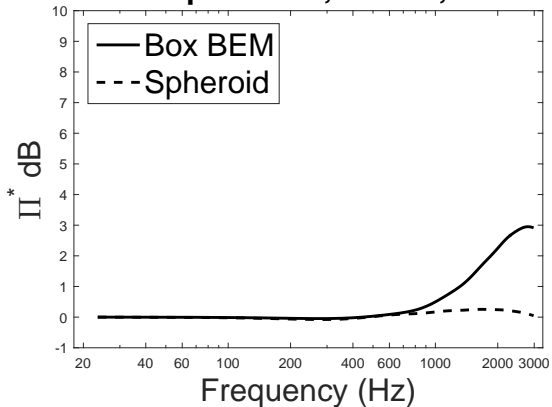
Baffle Step Response [Olson, 1950]



Discussion: puissance rayonnée



Sound power Π^* , Encl B, HP#1

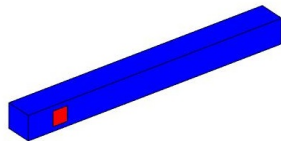
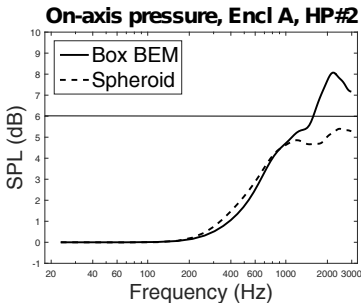
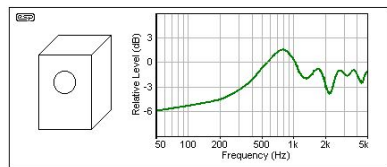
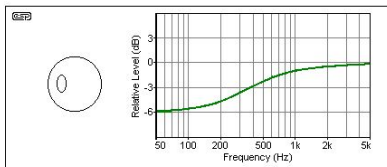


Forme d'une source omnidirectionnelle



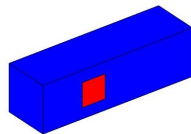
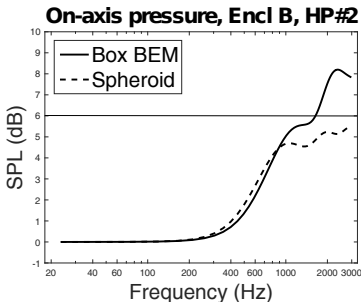
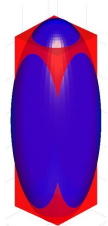
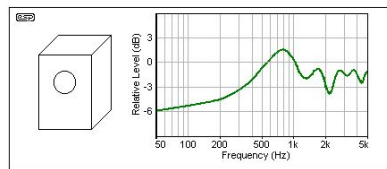
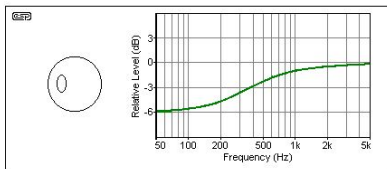
Discussion: réponse en fréquence dans l'axe

Baffle Step Response [Olson, 1950]



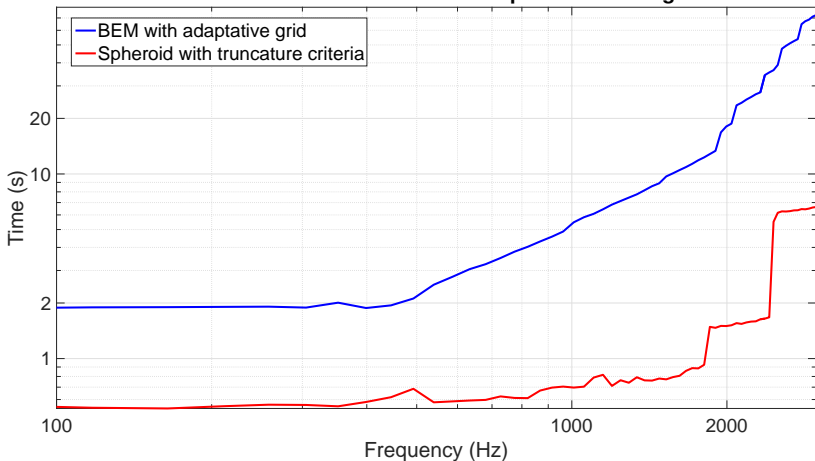
Discussion: réponse en fréquence dans l'axe

Baffle Step Response [Olson, 1950]



Temps de calcul

Mean of calculation time for a set of 3 loudspeaker on a single enclosure



Discussion sur le modèle sphéroïdal

RÉSUMÉS

Modèle sphéroïdal

[200 Hz, 3 kHz]

- Le modèle sphéroïdal est proche du BEM en basse fréquence
- Le modèle sphéroïdal est plus rapide à calculer

PERSPECTIVES

Discussion sur le modèle sphéroïdal

RÉSUMÉS

Modèle sphéroïdal

[200 Hz, 3 kHz]

- Le modèle sphéroïdal est proche du BEM en basse fréquence
- Le modèle sphéroïdal est plus rapide à calculer

Remarques pour le design des enceintes

- Les enceintes sphéroïdales produisent des directivités moins chaotiques que les enceintes rectangulaires.

PERSPECTIVES



Discussion sur le modèle sphéroïdal

RÉSUMÉS

Modèle sphéroïdal [200 Hz, 3 kHz]

- Le modèle sphéroïdal est proche du BEM en basse fréquence
- Le modèle sphéroïdal est plus rapide à calculer

Remarques pour le design des enceintes

- Les enceintes sphéroïdales produisent des directivités moins chaotiques que les enceintes rectangulaires.

PERSPECTIVES

Travaux futurs possibles :

- Utiliser les directivités analytiques pour contrôler le rayonnement.
- Peut-on prédire la gamme de fréquence pour laquelle le modèle sphéroïdal est valide ?



Tables des matières

- ① Méthodes de référence
- ② Modèle de diffraction
- ③ Modèle sphéroïdal
- ④ Conclusion générale
 - Résumé
 - Perspectives



Résumé

EXPLOITATION DES MÉTHODES

INFLUENCE DE LA FORME D'UNE BARRE DE SON SUR LE RAYONNEMENT

Modèle sphéroïdal

- Une forme arrondie un rayonnement plus régulier

Résumé

EXPLOITATION DES MÉTHODES

INFLUENCE DE LA FORME D'UNE BARRE DE SON SUR LE RAYONNEMENT

Modèle sphéroïdal

- Une forme arrondie un rayonnement plus régulier

Modèle de diffraction

- La diffraction par les arêtes peut être responsable d'une variation de 3 dB
- La diffraction affecte la directivité des enceintes rectangulaires de manière contre-intuitive

Résumé

INFLUENCE DE LA FORME D'UNE BARRE DE SON SUR LE RAYONNEMENT

Modèle sphéroïdal

- Une forme arrondie un rayonnement plus régulier

Modèle de diffraction

- La diffraction par les arêtes peut être responsable d'une variation de 3 dB
- La diffraction affecte la directivité des enceintes rectangulaires de manière contre-intuitive

EXPLOITATION DES MÉTHODES

Modèle sphéroïdal

- Possibilité de capsule circulaire (par forçément "piston")
- Établissement d'un critère de troncature aussi puissant qu'en sphérique

Résumé

INFLUENCE DE LA FORME D'UNE BARRE DE SON SUR LE RAYONNEMENT

Modèle sphéroïdal

- Une forme arrondie un rayonnement plus régulier

Modèle de diffraction

- La diffraction par les arêtes peut être responsable d'une variation de 3 dB
- La diffraction affecte la directivité des enceintes rectangulaires de manière contre-intuitive

EXPLOITATION DES MÉTHODES

Modèle sphéroïdal

- Possibilité de capsule circulaire (par forçément "piston")
- Établissement d'un critère de troncature aussi puissant qu'en sphérique

Modèle de diffraction

- Explication des phénomènes observés sur les mesures de directivité d'enceinte
- Duplications des résultats
- Mise en évidence de paramètres importants pour le calcul

Perspectives

APPLICATIVES

Design des barres de son

- À quel point arrondir les arêtes est-il suffisant ?
- Influence de l'environnement (table, TV, mur, ...) ?

FONDAMENTALES

Perspectives

APPLICATIVES

Design des barres de son

- À quel point arrondir les arêtes est-il suffisant ?
- Influence de l'environnement (table, TV, mur, ...) ?

Contrôle des barres de son

- Est-ce possible de contrôler avec les harmoniques sphéroïdales ?

FONDAMENTALES

APPLICATIVES

Design des barres de son

- À quel point arrondir les arêtes est-il suffisant ?
- Influence de l'environnement (table, TV, mur, ...) ?

Contrôle des barres de son

- Est-ce possible de contrôler avec les harmoniques sphéroïdales ?

FONDAMENTALES

Forme d'un obstacle en acoustique

- Quand est-ce que deux objets de formes proches ont un rayonnement similaire ?
- Ondes rampantes et diffraction, réunification ?



Remerciements

MERCI POUR VOTRE ATTENTION



Asheim, Andreas, & Svensson, U. Peter. 2013.

An integral equation formulation for the diffraction from convex plates and polyhedra.

Journal of Acoustical Society of America, **133**(6), 3681–3692.



Boisvert, Jeffrey E, & Van Buren, A. L. 2002.

Acoustic radiation impedance of rectangular pistons on prolate spheroids.

The Journal of the Acoustical Society of America, **111**(2), 867–874.



Flammer, C. 1957.

Spheroidal Wave Functions.

Monograph.

Stanford University Press.



Olson, Harry F. 1950.

Direct Radiator Loudspeaker Enclosures.

Journal of Audio Engineering Society, October.



Van Buren, Arnie L, & Boisvert, Jeffrey E. 2007.

Accurate calculation of the modified Mathieu Functions of integer order.

Quarterly of applied mathematics, **LXV**(1), 1–23.